

## 14.2 Diagramme zum Einstellen der Dosierleistung

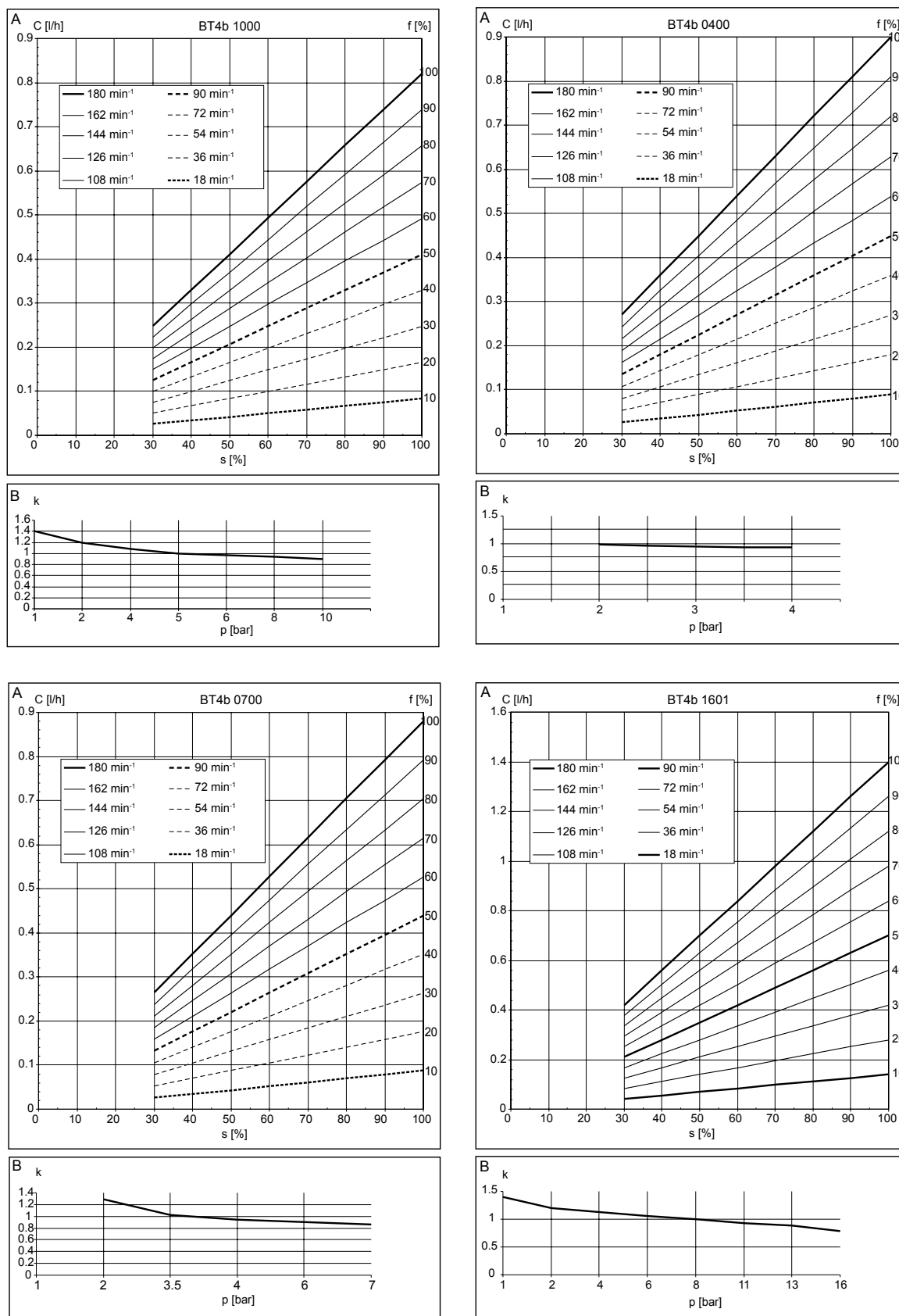


Abb. 23: A) Dosierleistung  $C$  bei mittlerem Gegendruck in Abhängigkeit von der Hublänge  $s$  für unterschiedliche Hubfrequenzen  $f$ . B) Zugehörige Korrekturfaktoren  $k$  in Abhängigkeit vom Gegendruck  $p$ .

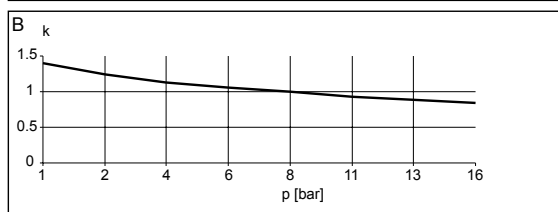
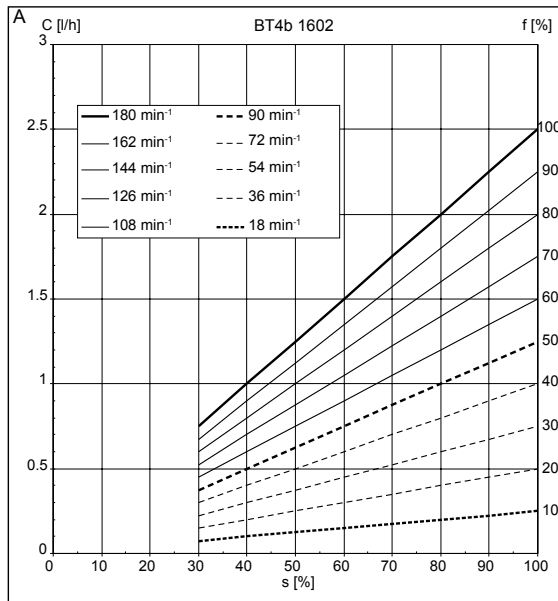
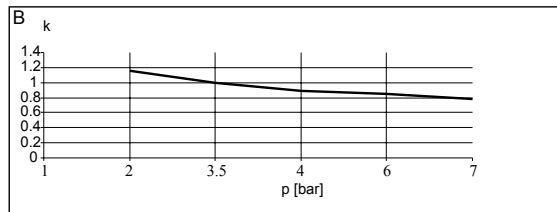
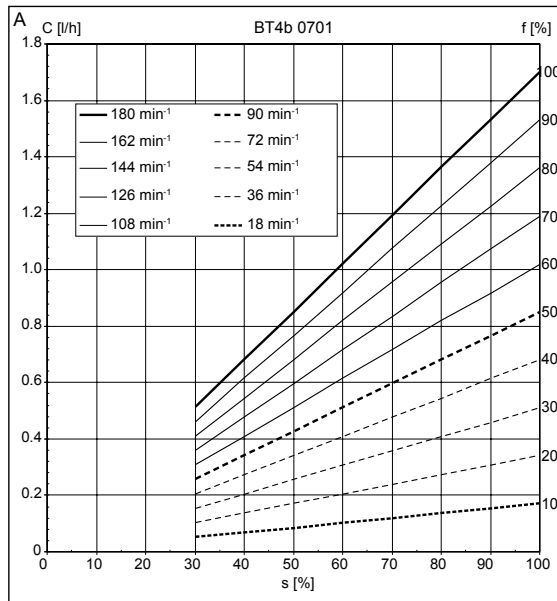
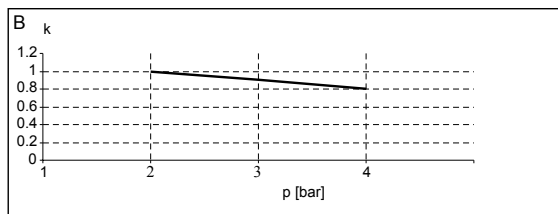
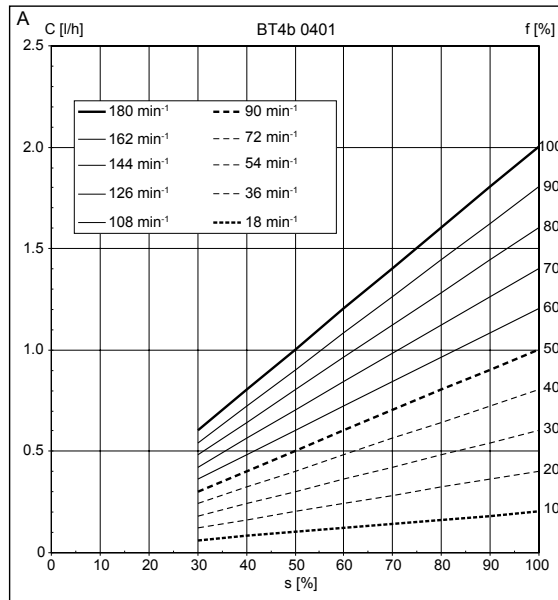
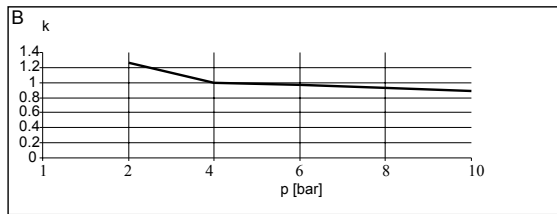
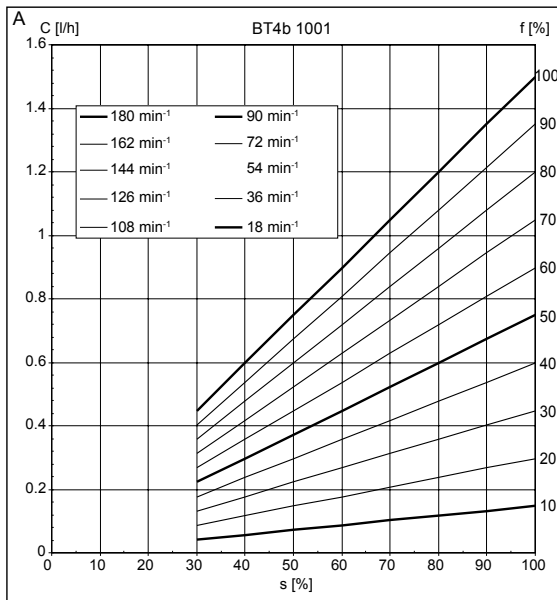


Abb. 24: A) Dosierleistung  $C$  bei mittlerem Gegendruck in Abhängigkeit von der Hublänge  $s$  für unterschiedliche Hubfrequenzen  $f$ . B) Zugehörige Korrekturfaktoren  $k$  in Abhängigkeit vom Gegendruck  $p$ .

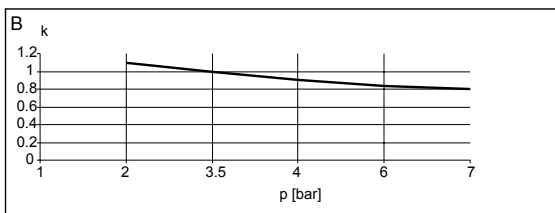
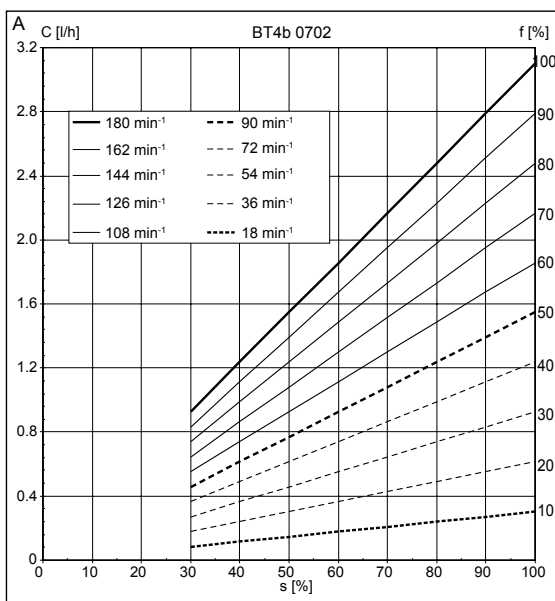
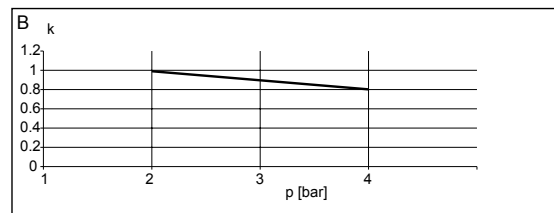
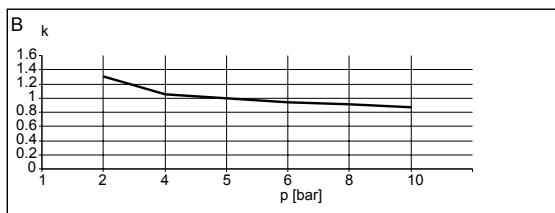
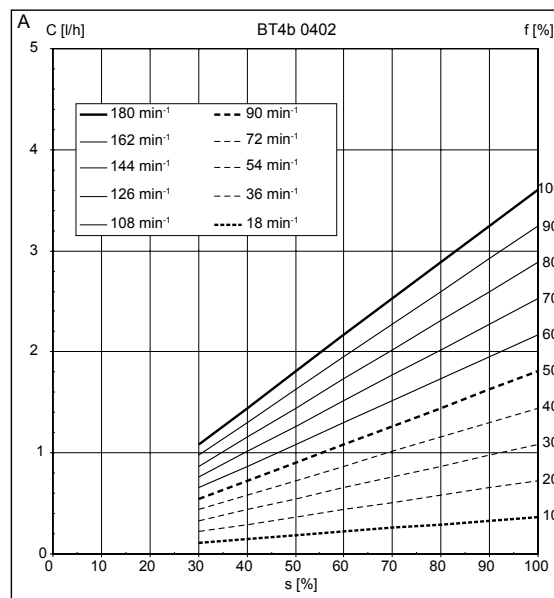
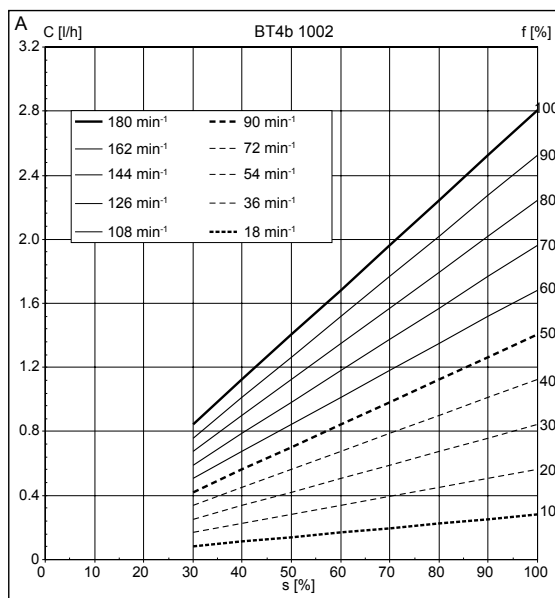


Abb. 25: A) Dosierleistung  $C$  bei mittlerem Gegendruck in Abhängigkeit von der Hublänge  $s$  für unterschiedliche Hubfrequenzen  $f$ . B) Zugehörige Korrekturfaktoren  $k$  in Abhängigkeit vom Gegendruck  $p$ .

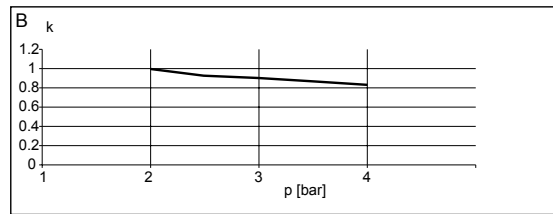
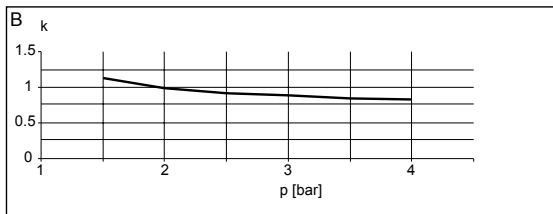
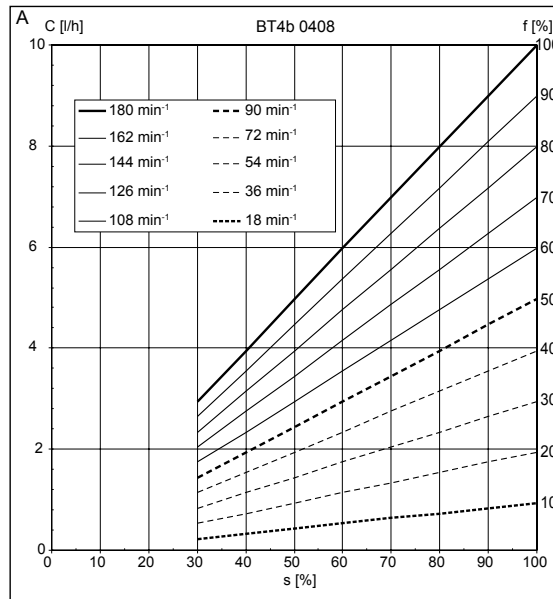
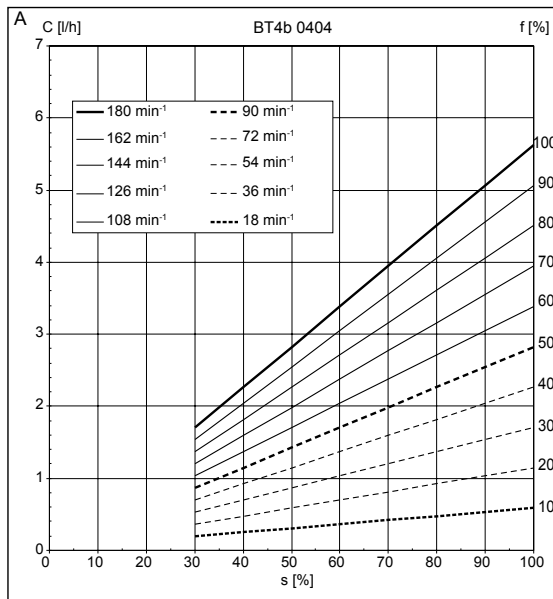
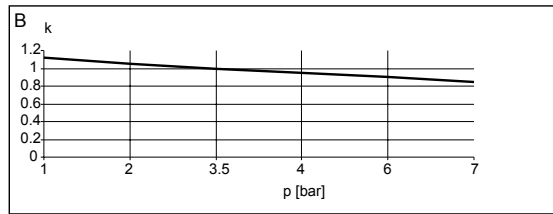
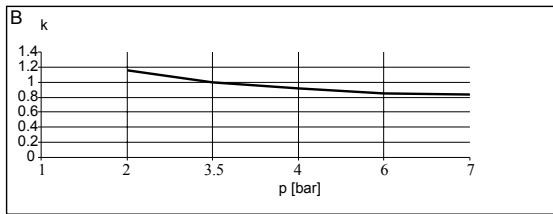
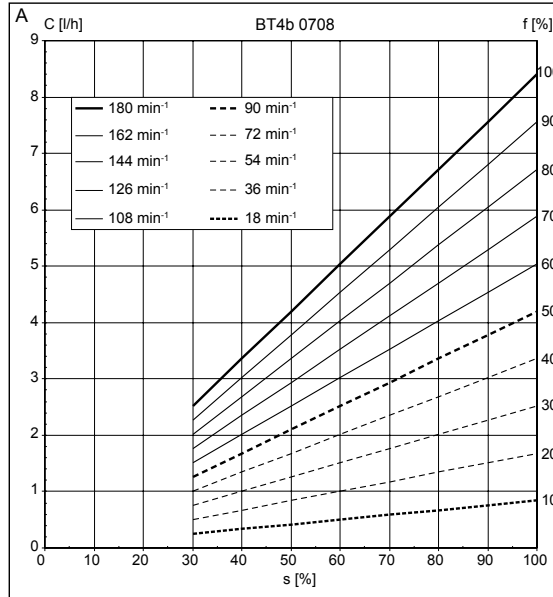
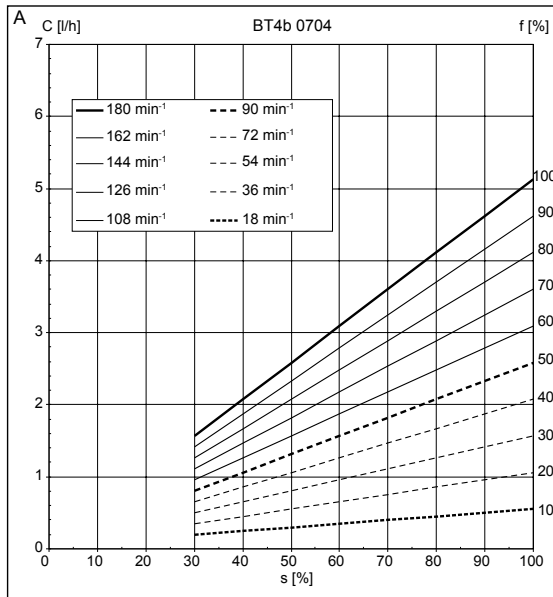


Abb. 26: A) Dosierleistung  $C$  bei mittlerem Gegendruck in Abhängigkeit von der Hublänge  $s$  für unterschiedliche Hubfrequenzen  $f$ . B) Zugehörige Korrekturfaktoren  $k$  in Abhängigkeit vom Gegendruck  $p$ .

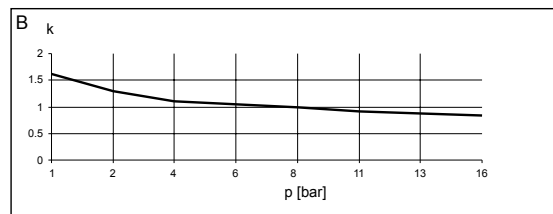
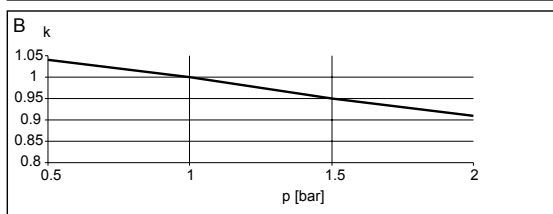
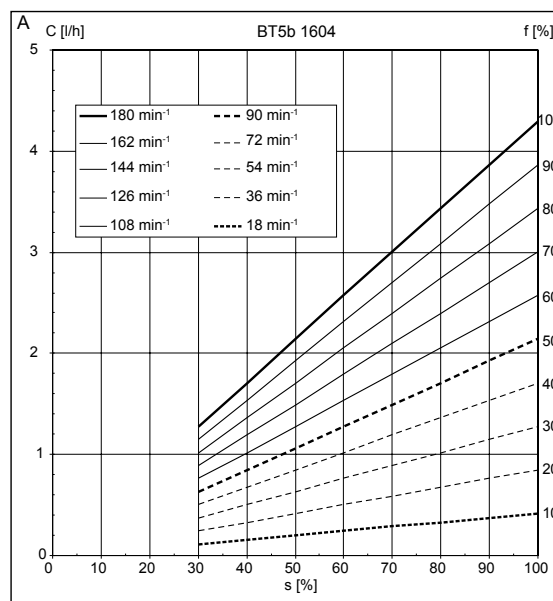
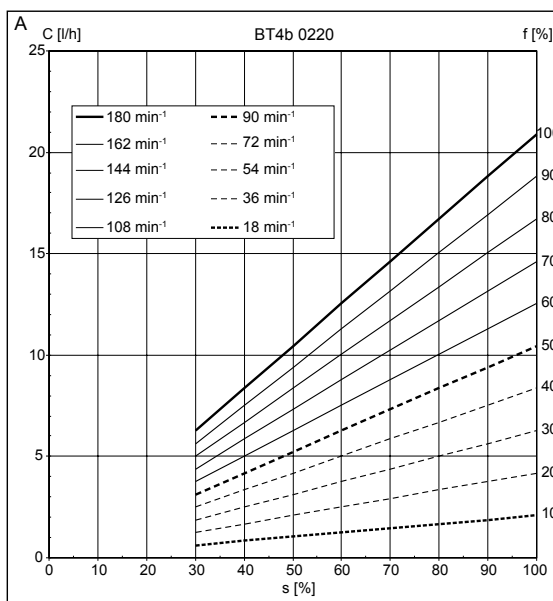
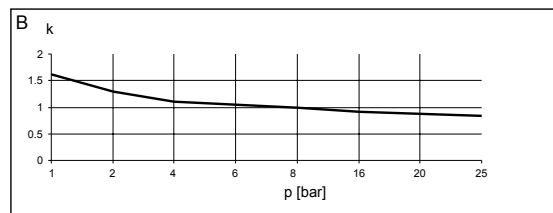
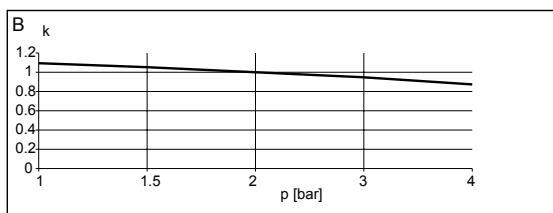
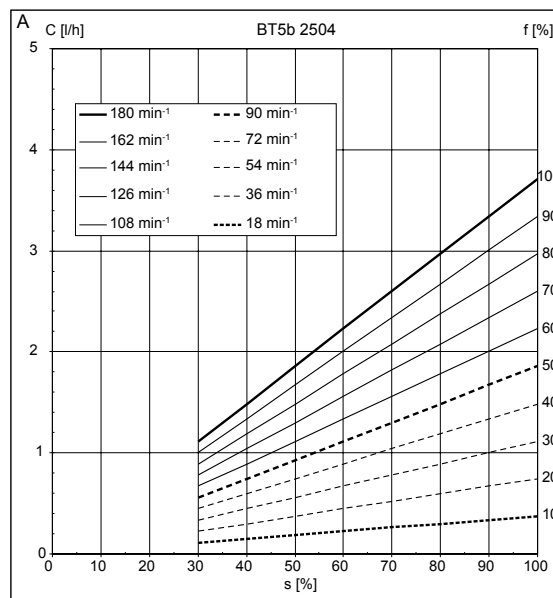
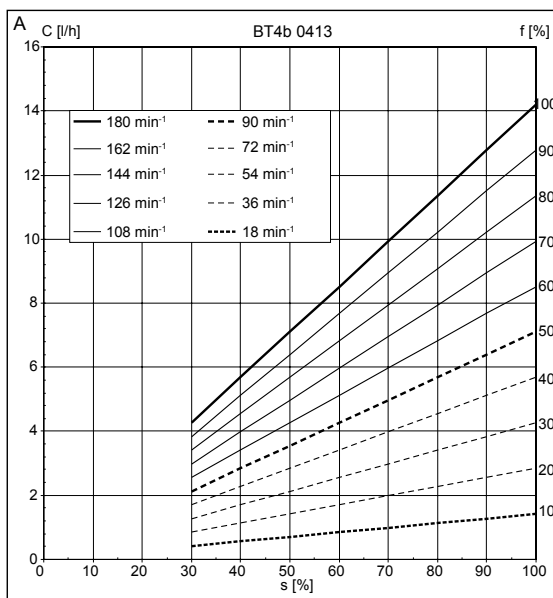


Abb. 27: A) Dosierleistung  $C$  bei mittlerem Gegendruck in Abhängigkeit von der Hublänge  $s$  für unterschiedliche Hubfrequenzen  $f$ . B) Zugehörige Korrekturfaktoren  $k$  in Abhängigkeit vom Gegendruck  $p$ .

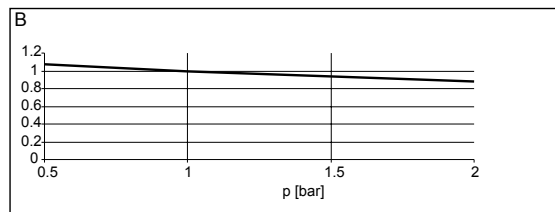
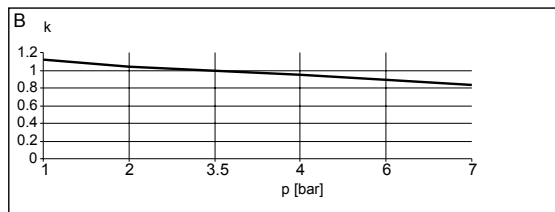
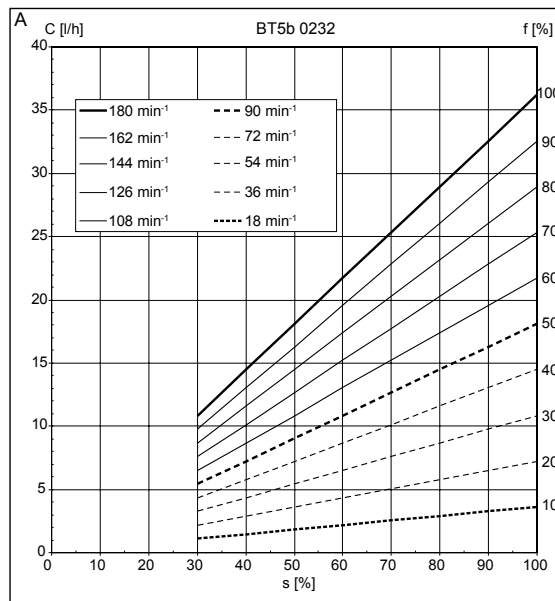
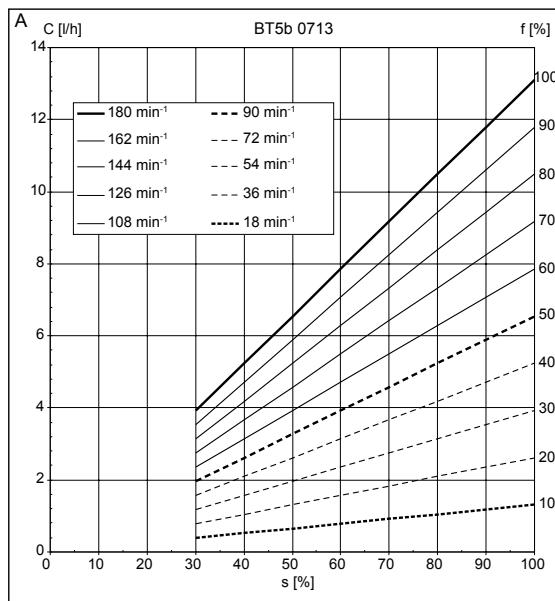
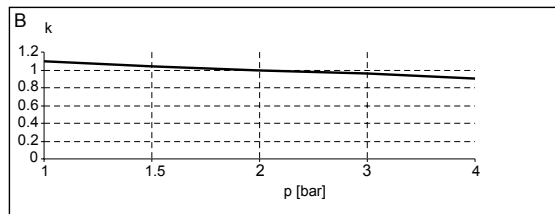
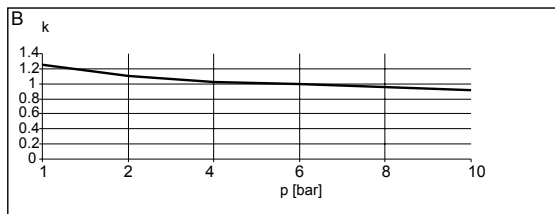
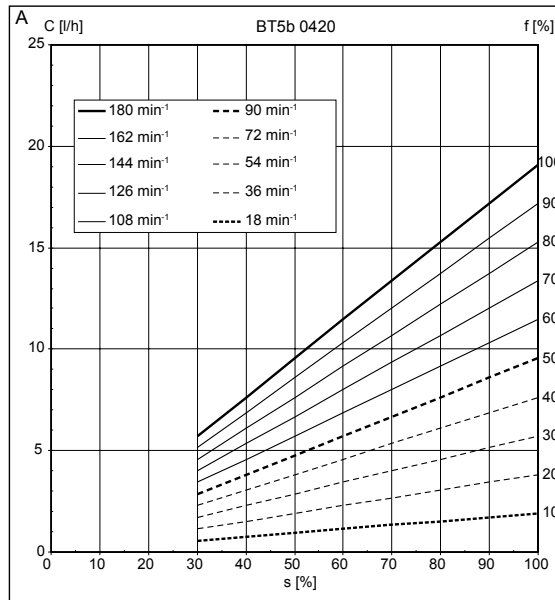
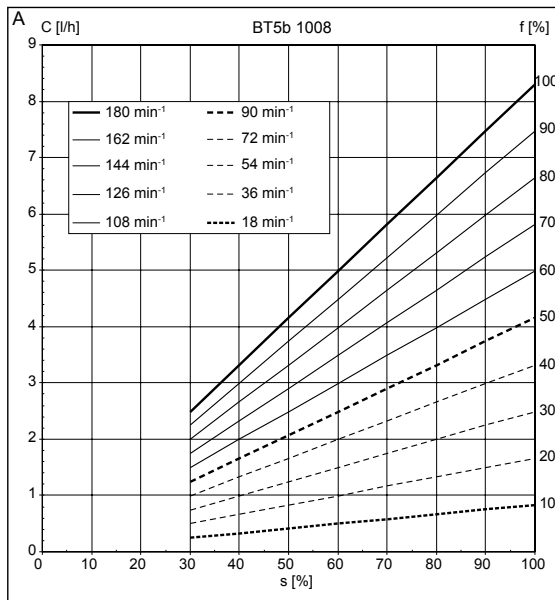


Abb. 28: A) Dosierleistung C bei mittlerem Gegendruck in Abhängigkeit von der Hublänge s für unterschiedliche Hubfrequenzen f. B) Zugehörige Korrekturfaktoren k in Abhängigkeit vom Gegendruck p.